# 地震波処理の一方式について

著者	渡辺 一郎, 福井 隆文, 勝山 ヨシ子
雑誌名	国立防災科学技術センター研究速報
号	18
ページ	1-6
発行年	1975-08-30
URL	http://id.nii.ac.jp/1625/00002734/

### 地震波処理の一方式について

渡辺一郎・福井隆文・勝山ョシ子 国立防災科学技術センター第3研究部

# A Processing Method for Earthquake Wave By

I. Watanabe, T. Fukui and Y. Katsuyama

National Research Center for Disaster Prevention, Tokyo

#### Abstract

A simple filtering technique was proposed for manually indicating the analog-recorded arrival times of P- and S-waves.

In this filtering, the filter cuts away low-frequency noises with a long-recording data recorder, and cuts away the high-frequency waves for the convenience of the naked eye.

This technique was applied to the temporary earthquake wave observation at Kawasaki.

#### 目 次

- 1. はしがき
- 2. 半自動検測方法の改良
- 3. 川崎市における臨時観測への応用
- 4. あとがき

#### 1. はしがき

われわれは、前前報(菅原正巳、1974)において、ノイズに埋もれた地震波を検出する 方式について報告し、前報(渡辺一郎、1975)において、この方式を岩槻地般変動観測施 設における観測記録に適用した結果について報告した。さらに前報では、このようにして検 出された地震波のP波、S波到着時刻などを、蓄積管型表示装置とタブレット型の図形入力 装置を用いて判定する方式についても言及した。しかし前報でも述べたように、AD変換し たものをそのまま蓄積管型表示装置に表示すると、非常に見にくくP波、S波の区別があま り明りようではない。

本報告では、この点を改良した判定方式およびそれによるP波、S波到着時刻判定結果について述べる。また、このようを改良のもととなった工夫が、川崎市における臨時地震観測

の整理の仕事に対し非常に役立ったので, これについてもふれることとする。

#### 2. 半自動検測方式の改良

写真1の上段はTEAC社製R950Sデータレコーダによる岩槻の地震(昭和49年3月27日11時54分)の部分の記録(記録速度0.06ips)を,TEAC社製R410データレコーダで再生(再生速度3ips)し,AD変換(サンブリングタイム500μs)して,コンピュータの磁気テーブに格納したものを,そのまま蓄積管型表示装置に表示したものである。最上段は秒パルスである。P波,

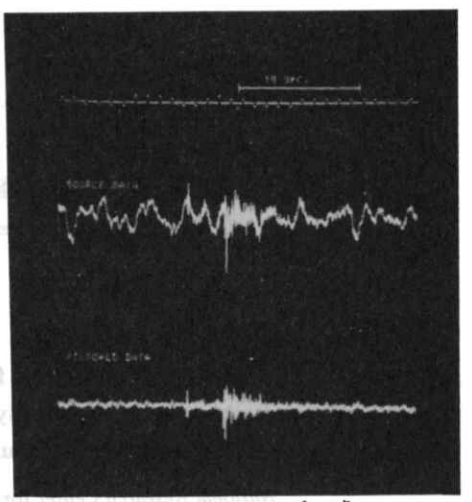
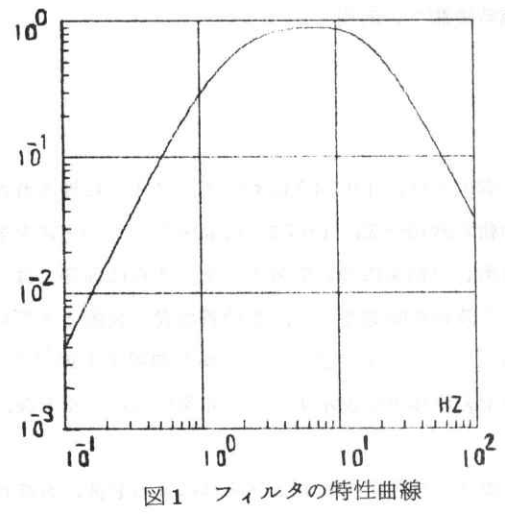


写真1 岩槻オリジナルデータ フィルタードデータ

S波の区別は明りようでなく、これらの到着時間を判定することはなかなかむずかしい。

ところが、よく知られているようにすす書き記録の場合にはP波、S波を区別することは写真1の上段と比較して非常に容易である。このような相異の原因としては次のことが考えられる。

- (1) R950 Sデータレコーダの低周波ノイズ
- (2) すす書き記録器の高周波ゲインが低いこと
- (3) すす書きのペンと紙との間の摩擦が比較的大きく、振動が比較的大きくならなければペンが動きださないこと



そこでP, S波の区別をはっきりさせ到着時間を容易にするために、アナログ観測記録に

フィルタをかけてすす書き記録に近づけるととを考えた。この場合、P, S到着時間をわかりやすくするのが目的であるから、無理してすす書き記録に正しく合わせる必要はない。何回かの試行錯誤の結果得られた、現在用いているディジタルフィルタの特性曲線を図1に示す。特別な形ではなく、まったく普通のバンドバスフィルタである。

写真1の上段を、図1のディジタルフィルタで処理した後に蓄積管型表示装置に表示した ものが写真1の下段である。P、S波の区別が明りようとなり、到着時間の判定も非常に容 易になっている。

なお、以上の処理はすべて前前報において述べた地震検出方式を用いて検出された地震液に対して行っていることに注意すべきである。地震以外のものを含む原記録に図1のフィルタをかけた結果の中から地震を検出しようとすると、あまり良い結果は得られない。特に小さな地震に図1のフィルタをかけると地震としての特徴が失なわれるから、また人間の目とコンピュータの目とは認識方式が異なるからであると考えられる。

かくて,現在の所われわれが到達した微小地震半自動検測システムの概略の流れを図2の ように示すことができる。

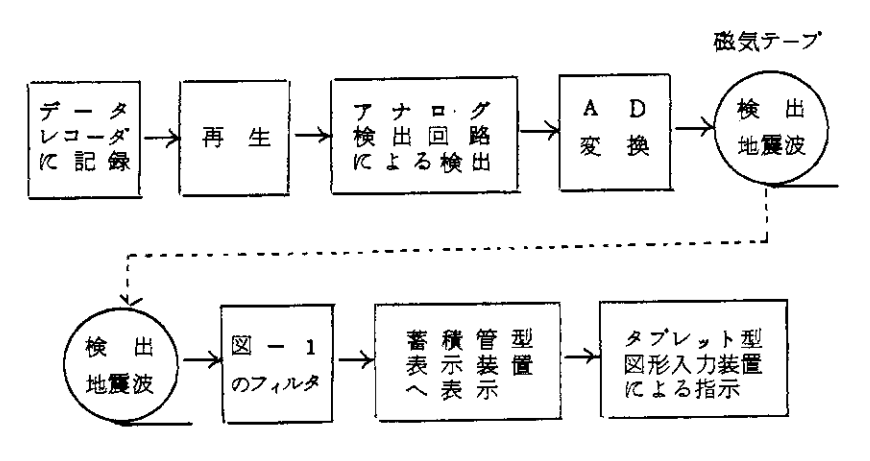


図2. 地震半自動検測システム

図2の方法により判定された検測結果の一部を表1に示す。ただし、検出のためにAD変換後ディジタルフィルタリングを行う方法をとった。表1には対応するすす書き記録による判定結果も2行目に付記してある。図2の方法の精度は十分実用に耐えると考えられる。

しかし、図2の方法を実用化するにはなお次のような問題点がある。これらの問題点とそれに対する今後の方針について若干述べよう。

- (1) 最大振幅その他についての検測方式がまだ未完であり、今後の課題である。
- (2) 人間が到着時間を指示するのであるから、多くの時間を必要とする。特に人間の労力

#### は著しい。

現在コンピュータによって自動的に判定する方式を開発中である。ただし、地震の特殊性のため、完全自動化は不可能であると思われるので、コンピュータが判定できないものに対して、蓄積管型表示装置に表示する方式はやはり有用である。この場合、人間が表示をみてP、S波到達時間を指示する動作を行う間、コンピュータは何もしないことになる。コンピュータに、数台の表示装置および指示のための装置を接続して検測を行うシステムを構成する必要があろう。

### 3。川崎市における臨時観測への応用

最近、川崎市の国鉄川崎駅附近の地盤の異常な隆起が、地震の前兆ではないかということで注目され、確認のため諸機関による各種の観測、調査が進められている。

国立防災科学技術センタにおいても、地震計を設置して地震観測を行っているが、そのうちの一つの記録計に前記のR950Sが用いられている。

R950 Sは前述のように記録速度が0.06 ipsであり、約8日間の連続記録を行うことができる。地震計は当初、川崎市生田の建設途中で工事が中止されている地下鉄道内におかれていたが、地下66mであるため感度は10m2において7万倍で比較的低い。したがって、記録されている地震の数が少ないためこの連続記録の中から地震だけを検出して取りだすことは特に重要である。自動的に検出することも考慮しているが、新しい地点であり地震やノイズの波の特徴を目でみることも大切であるということから、現在、図3のような流れて処理を行っている。

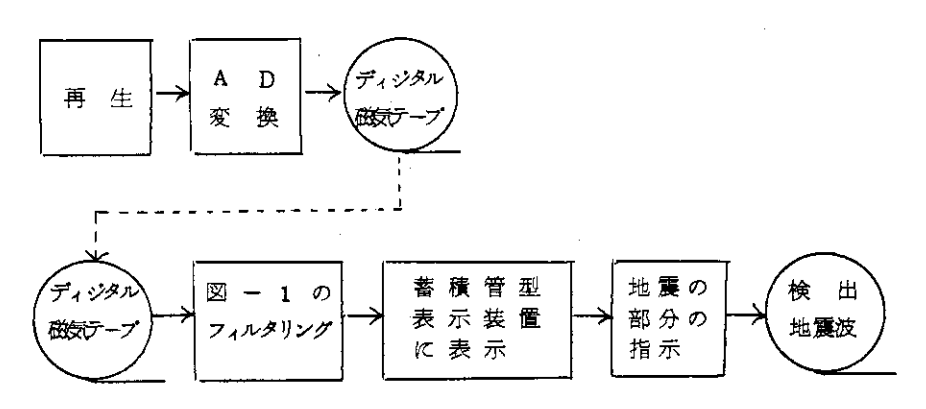


図3. 地震半自動検出システム

```
1974 4
1974 3
            S
 D + M
                  S-P AMAX
                              F-P
                                      D H M
                                                 S
                                                       S-P AMAX
                                                                   F-P
26 22 02 27.2
                              64.
                                      1 11 28 47.3
                                                       5.9
                                                                   28.
                                                             111
                  4.8
          27.4
                              60.
                                               47.4
                                                              26
                                                                   20.
                                                       5.1
26 22 29 09.7
                 13.5
                                      1 11 33 45.8
                        522
                              77.
                                                             313
                                                                   38.
                                                      10.7
                        470
                 14.6
                                               49.2
          09.9
                            100.
                                                       7.6
                                                              75
                                                                   16.
26 23 32 58.2
                  5.6
                                      1 12 31 05.2
                                                       5.0
5.4
                        142
                              22.
                                                             180
                         70
          58.0
                              20.
                                               04.7
                                                                   25.
                                                              66
                 17.3
27 00 02 21.0
                                      1 16 28 03.2
                                                             209
                                                                   26.
                        174
                              54.
                                                      12.7
                 18.4
                         80
          21.0
                              60.
                                                             115
                                                                   24.
27 05 08 54.5
                  7.6
                        260
                              28.
                                                             223
                                      1 17 27 34.7
                                                      11.1
                                                                   50.
                  7.0
          55.1
                        160
                              30.
                                                                   50.
                                               34.4
                                                      11.6
27 07 16 18.8
                 10.5
                              69.
                        445
                                      1 22 09 04.5
                                                             265
                                                                   67.
                                                      11.9
                        210
          18.8
                              80.
                                               04.6
                                                      15.1
                                                             110
                                                                   60.
27 09 03 12.6
                 13.8
                        191
                                      1 23 10 50.4
                              39.
                                                      17.3
                                                             472
                                                                   60.
                 13.4
          12.8
                        160
                                               50.5
                                                      17.1
                                                             234
                                                                   60.
                 12.2
27 10 44 04.0
                        211
                              45.
                                      1 23 25 59.8
                                                       6.6
                                                             436
                                                                   28.
          04.4
                        100
                                               59.0
                              40.
                                                             110
                                                                   25.
                                      2 00 48 22.2
27 11 06 11.4
                 10.5
                        143
                              52.
                                                             367
                                                                   18.
          11.8
                 10.0
                        70
                                                       3.1
                              40.
                                                             176
                                                                   18.
27 11 54 36.0
                  3.4
                        218
                              19
                  3.1
          36.4
                        100
                              14.
                  6.7
                              29.
27 12 04 16.6
                        117
                  7.5
          16.8
                        160
                              24.
27 15 14 25.9
                 10.6
                              76.
          26.3
                 10.2
                              70.
27 15 22 26.8
                  3.4
                        206
                              16.
          27.3
                  3.1
                              15.
27 17 40 05.0
                          * 114.
          02.2
                            100.
                  6.9
7.2
27 18 04 53.5
                        724
                              50.
          53.8
                              50.
27 18 46 44.0
                              87.
          11.2
                              80.
```

表1 P,S到達時刻検出結果

この処理においても図1のフィルタが重要な役割を果たしている。図1のフィルタをかけ ないで蓄積管型表示装置に表示したものが写真 2, フィルタ通過後のものが写真 3 (写真 2 に対してゲインを1.5倍にしている)である。写真2,3ともに1ライン5分である。写真 3の方が人間にとって非常に見やすくなっている。

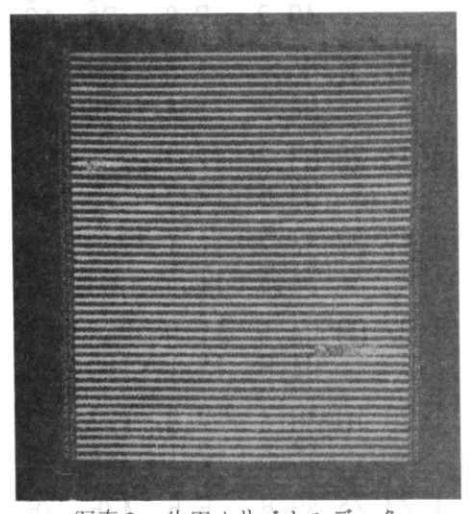


写真2 生田オリジナルデータ

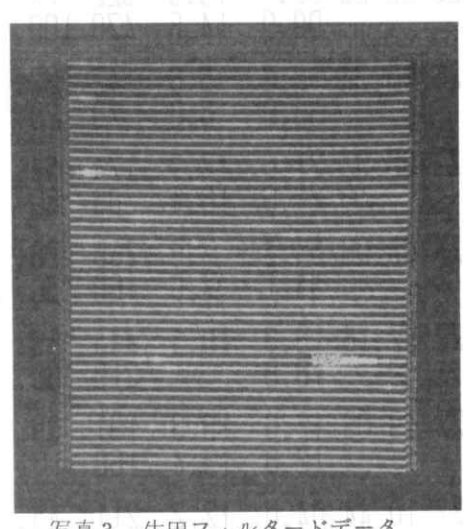


写真3 生田フィルタードデータ

なお、地点も地震計も異なり、したがってノイズの様相も異なるのに、人間の目にとって 良いフィルタが、同じでよいことに注目すべきであろう。これは前述したように、図1のフ ィルタがR 950 S 記録計とすす書き記録計との特性に大きく関係しているためと思われる。

#### 4。あとがき

図1のフィルタが良いことは、前述の理由から考えて当然であると言える。しかし、人間 は先入感にとらわれてしまうとそれからなかなかぬけだせないものである。貴重なヒントに よってわれわれを袋小路からだしていただいた明石製作所、福尾信平氏に深く感謝の意を表 したい。また、半自動検測の細かい改良については国立防災科学技術センター第2研究部の 諸氏に負うところが多い。

#### 参考文献

- 1) 菅原正巳・勝山ヨシ子・大村一夫・福井隆文(1974): 微小地震の自動検出方法に ついて、国立防災科学技術センター研究報告,第9号,1-9。
- 2) 渡辺一郎・勝山ヨシ子(1975): 微小地震の自動検出方法について(第2報)。 国 立防災科学技術センター研究報告,第12号,掲載予定,

(1975年5月6日原稿受理)